ПАНЕЛЬ IFN-I-ИНДУЦИРУЕМЫХ ГЕНОВ ПРИ СИСТЕМНОЙ СКЛЕРОДЕРМИИ: ПОТЕНЦИАЛ БИОМАРКЕРА СТРАТИФИКАЦИИ

И. А. Шагина 1,2,5 , М. А. Турчанинова 2,5 , О. А. Головина 3 , Л. С. Буфеева 2,5 , Т. И. Журина 3 , Р. Ф. Сайфуллин 1,4 , М. Ю. Мышкин 2,5 , З. Ю. Мутовина 3 , О. В. Британова 2,5 $^{\boxtimes 2}$

- 1 Российский национальный исследовательский медицинский университет имени Н. И. Пирогова, Москва, Россия
- ² ООО «МайЛаборатори», Москва, Россия
- ³ Московский городской научно-исследовательский центр Больница № 52, Москва, Россия
- ⁴ Федеральный научно-клинический центр реаниматологии и реабилитологии, Москва, Россия
- ⁵ Институт биоорганической химии имени М. М. Шемякина и Ю. А. Овчинникова Российской академии наук, Москва, Россия

Системная склеродермия (ССД) остается заболеванием с высокой летальностью; валидированных биомаркеров для стратификации и мониторинга недостаточно. Целью работы было изучить экспрессию разработанной панели IFN-I-индуцируемых генов (IFI27, IFI44, IFI73, ISG15, XAF1) в периферической крови и пораженной коже при ССД. Исследовали образцы 48 пациентов с ССД и 31 здорового донора. Экспрессию генов определяли методом RT-qPCR ($\Delta\Delta$ Ct) с нормировкой по референсному гену «домашнего хозяйства»; экспрессию гена SFRP4 использовали как маркер кожного фиброза. Экспрессия IFN-I-индуцируемых генов была достоверно (p < 0,1) повышена как в крови, так и в коже пациентов с ССД относительно образцов здоровых доноров. Сопоставление экспрессии между компартментами показало, что уровни экспрессии генов XAF1, IFI44, IFI73, ISG15 в крови пациентов выше (p < 0,01), чем в образцах кожи. Экспрессия гена IFI27, напротив, более выражена в коже (p < 0,01). Результаты исследования показывают, что разработанная тест-система оценки интерфероновой сигнатуры потенциально может быть использована как неинвазивный инструмент стратификации пациентов с ССД по анализу РНК, полученной из образца крови, в том числе для обоснования назначения терапии блокаторами рецептора IFN-I.

Ключевые слова: системная склеродермия, интерферон I типа, интерфероновая сигнатура, анифролумаб, qRT-PCR, неинвазивная диагностика

Финансирование: исследование выполнено на средства гранта Правительства Москвы (НИР № 1603-47/23 от 08.06.2023), спонсор — АНО «Московский центр инновационных технологий в здравоохранении».

Вклад авторов: З. Ю. Мутовина — концепция; Т. И. Журина, Р. Ф. Сайфуллин — сбор данных в сфере ревматологии и медицины; анализ литературы М. Ю. Мышкин — анализ данных; Л. С. Буфеева — сбор образцов, выделение РНК; И. А. Шагина — оптимизация и проведение RT-qPCR, первичный анализ данных, подготовка рукописи, анализ литературы; М. А.Турчанинова, О. А. Головина, О. В. Британова — подготовка рукописи, анализ литературы.

Соблюдение этических стандартов: исследование проведено в соответствии с требованиями Хельсинкской декларации. От всех пациентов получено добровольное информационное согласие в рамках прохождения обследования в стационаре (на взятие образцов биоматериала и проведение анализов).

Для корреспонденции: Ольга Владимировна Британова — ул. Миклухо-Маклая, д. 16/10, 117997, г. Москва, Россия, olbritan@gmail.com; Зинаида Юрьевна Мутовина — ул. Пехотная, д. 3, 123182, г. Москва, Россия, zmutovina@mail.ru

Статья получена: 06.09.2025 Статья принята к печати: 08.10.2025 Опубликована онлайн: 21.10.2025

DOI: 10.24075/vrgmu.2025.047

Авторские права: © 2025 принадлежат авторам. Лицензиат: PHИMУ им. Н. И. Пирогова. Статья размещена в открытом доступе и распространяется на условиях лицензии Creative Commons Attribution (CC BY) (https://creativecommons.org/licenses/by/4.0/).

PANEL OF IFN-I-INDUCED GENES IN SYSTEMIC SCLERODERMA: A STRATIFICATION BIOMARKER POTENTIAL

Shagina IA^{1,2,5}, Turchaninova MA^{2,5}, Golovina OA³, Bufeeva LS^{2,5}, Zhurina TI³, Saifullin RF^{1,4}, Myshkin MYu^{2,5}, Mutovina ZYu³, Britanova OV^{2,5}

- ¹ Pirogov Russian National Research Medical University, Moscow, Russia
- ² MyLaboratory LLC, Moscow, Russia
- ³ Moscow City Research Center Hospital No. 52, Moscow, Russia
- ⁴ Federal Scientific and Clinical Center of Resuscitation and Rehabilitation, Moscow, Russia
- 5 Shemyakin and Ovchinnikov Institute of Bioorganic Chemistry of the Russian Academy of Sciences, Moscow, Russia

Systemic scleroderma (SS) remains a disease with a high mortality rate; validated biomarkers for stratification and disease monitoring are still lacking. The study aimed to assess the expression of the developed panel of IFN-I-induced genes (*IFI27*, *IFI44*, *IFIT3*, *ISG15*, *XAF1*) in peripheral blood and affected skin of patients with SS. We tested samples of 48 SS patients and 31 healthy donors. Gene expression was analyzed using RT-qPCR ($\Delta\Delta$ Ct) method (with normalization to the reference housekeeping gene TBP). The SFRP4 gene expression was used as a marker of skin fibrosis. Expression values of the IFN-I-induced genes were significantly (ρ < 0.1) increased in both blood and skin of SS patients compared to healthy donors. Comparison between compartments revealed that the expression levels of *XAF1*, *IFI44*, *IFIT3*, *ISG15* in the patients' blood are higher (ρ < 0.01), than those in skin samples. The *IFI27* gene expression, in contrast, is higher in the skin (ρ < 0.01). The findings show that the test system developed for interferon signature assessment can potentially be used as a noninvasive tool for stratifying SS patients by analysis of RNA from peripheral blood samples, to substantiate the prescription of therapy with the IFN-I receptor blockers.

Keywords: systemic scleroderma, SS, Type I interferon, IFN-I-signature, anifrolumab, qRT-PCR, noninvasive diagnosis

Funding: the study was supported by the grant from the Moscow Government (R&D project No. 1603-47/23 dated 08.06.2023), sponsored by the Moscow Center for Innovative Technologies in Healthcare.

Author contribution: Mutovina ZYu — concept; Zhurina TI, Saifullin RF — acquisition of rheumatology and medicine data; literature review; Myshkin MYu — data analysis; Bufeeva LS — sample collection, RNA extraction; Shagina IA — RT-qPCR optimization and procedure, primary data analysis, manuscript writing, literature review; Turchaninova MA, Golovina OA, Britanova OV — manuscript writing, literature review.

Compliance with ethical standards: the study was conducted in accordance with the Declaration of Helsinki. The informed consent for biomaterial collection and testing during inpatient assessment settings was obtained from all patients.

Correspondence should be addressed: Olga V. Britanova — Miklukho-Maklaya, 16/10, Moscow, 117997, Russia; olbritan@gmail.com; Zinaida Yu. Mutovina — Pekhotnaya, 3, Moscow, 123182, Russia, zmutovina@mail.ru

Received: 06.09.2025 Accepted: 08.10.2025 Published online: 21.10.2025

DOI: 10.24075/brsmu.2025.047

Copyright: © 2025 by the authors. Licensee: Pirogov University. This article is an open access article distributed under the terms and conditions of the Creative Commons Attribution (CC BY) license (https://creativecommons.org/licenses/by/4.0/).

Системная склеродермия (ССД) — системное аутоиммунное характеризующееся заболевание. васкулопатией. последующим прогрессирующим фиброзом кожи и внутренних органов [1] и высокой смертностью: 25% пациентов погибают в первые 5 лет после постановки диагноза, 37,5% — в первые 10 лет [2-5]. Средняя продолжительность жизни пациентов с ССД на 16-34 года меньше среднестатистической [4]. Распространенность заболевания варьируется от 38 до 341 на миллион человек в год, а частота возникновения новых случаев заболевания колеблется от 8 до 56 человек на миллион в год по данным разных стран [6-11]. Наиболее частой причиной смерти при ССД является поражение внутренних органов — легких, сердца, желудочно-кишечного тракта [4, 5]. Помимо данных проявлений, течение заболевания у 35% пациентов осложнено развитием дигитальных язв, которые в свою очередь часто приводят к гангрене вплоть до ампутации пальцев, что определяет тяжелую функциональную недостаточность у таких пациентов [12-13].

Несмотря на то что заболевание мультисистемно, поражение кожи является его отличительной особенностью и определяет клинико-прогностическую стратификацию. По степени распространенности кожного процесса ССД подразделяют на диффузную форму (дСС) и лимитированную форму (лСС), которые различаются скоростью прогрессирования, особенностями течения и прогнозом [1].

Молекулярные механизмы, которые приводят к развитию ССД, до конца не изучены, что затрудняет подбор таргетной терапии для таких пациентов. В настоящее время выбор потенциальных опций для лечения крайне ограничен, что диктует необходимость поиска новых. Несмотря на то что Т-клеточные ответы типа Th2 и Th17 могут играть важную роль в патогенезе ССД [15, 16], показано, что активация интерфероновых путей, особенно типа I, имеет более выраженную ассоциацию с ССД, чем другие типы иммунного ответа [17, 18].

Последние исследования показывают схожую экспрессию генов, вовлеченных в интерфероновый каскад, у пациентов с системной красной волчанкой и ССД [19–21]. Для ревматоидного артрита, синдрома Шегрена и полимиазита также характерна повышенная экспрессия IFN-ассоциированных генов [23–29].

Активация пути IFN-I и соответственно «интерфероновая» генная сигнатура наблюдаются у значительной части пациентов с ССД уже на ранних стадиях в крови и коже и, по некоторым данным, ассоциируются с тяжестью поражения (в том числе легких и кожи) [30, 31]. Вывод о зависимости между уровнями экспрессии IFN-индуцированных генов с тяжестью заболевания, опровергается исследованиями [28, 32].

Актуальные рекомендации EULAR (обновление 2023) отражают смещение к таргетным подходам при ССД, что повышает значение валидируемых биомаркеров стратификации [33]. Эти наблюдения поднимают вопрос о потенциальной эффективности блокирования интерферон-опосредованных путей у части больных ССД.

Цель данной работы — провести оценку уровня экспрессии интерферон-зависимых генов у пациентов с ССД в клетках периферической крови и в поврежденных участках кожи для оценки потенциальной возможности стратификации пациентов и прогноза перспективной, но не одобренной в настоящее время терапии антителами к рецепторам интерферона при ССД [34]. Тестировали гипотезу, что IFN-I-сигнатура у пациентов с ССД может

отражаться в периферической крови, анализ которой может стать альтернативой повторным биопсиям кожи для стратификации и мониторинга пациентов.

МАТЕРИАЛЫ И МЕТОДЫ

Пациенты

В исследование были включены пациенты в возрасте 21–77 лет с системной склеродермией с лимитированной или диффузной формой заболевания, поступившие в ревматологическое отделение ГБУЗ МКНИЦ Больница 52 ДЗМ с апреля 2023 по февраль 2025 г., соответствующие критериям ACR/EULAR2013 [35].

Критерии включения: наличие антинуклеарного фактора в крови пациентов, определенное методом непрямой иммунофлюоресценции. При обнаружении антинуклеарного фактора, проводилось исследование спектра ядерных антител методом иммуноблотинга (табл. 1).

Критерии исключения: наличие иных системных аутоиммунных заболеваний (например, ревматоидного артрита, идиопатических воспалительных миопатий, системной красной волчанки); наличие признаков инфекционных заболеваний (по внешним признакам).

Из исследования не исключали пациентов при отсутствии каких-либо конкретных антител или отрицательном результате иммуноблота, так как:

- 1) для постановки диагноза ССД, согласно критериям ACR/EULAR, наличие конкретных антител не является облигатным критерием для постановки диагноза [35];
- 2) для ССД также характерны антитела к РНКполимеразе III, которые не определяют в РФ; кроме того, ССД может быть ассоциирована с антителами вне анализируемого спектра.

Скрининговое определение антинуклеарных антител проводили методом иммуноферментного анализа (ИФА) на полуавтоматическом ИФА-анализаторе Multiscan FC (Thermo Fisher Scientific Inc., США) при помощи набора реагентов ANA-Screen ELISA IgG (Euroimmun AG, Германия) согласно инструкции производителя. Подтверждающее определение антинуклеарных антител проводили методом иммунного блота при помощи набора реагентов ANA profile 1 IgG (Euroimmun AG, Германия) согласно инструкции производителя.

Проведены клинико-иммунологическая оценка пациентов, включая оценку активности заболевания согласно EScSG (табл. 1) [36], оценка капилляроскопического паттерна на момент осмотра, лабораторная оценка на наличие специфических антител. Все пациенты были обследованы на наличие/отсутствие поражения возможных органов мишеней: кожи (проведен кожный счет по Rodnan), суставов (оценено число болезненных и припухших суставов), легких (всем пациентам была выполнена мультиспиральная компьютерная томография (МСКТ) органов грудной клетки (ОГК)), сердца и легочной артерии (проведены электрокардиография, ЭХО-кардиография, катетеризация желудочно-кишечного тракта у одного пациента (проведена рентгеноскопия пищевода с барием)).

Отбор и обработка биологического материала, выделение РНК

Сбор образцов осуществляли в клинике в рамках общего обследования пациентов при поступлении в больницу. Всего в исследование было включено 48 пациентов

с ССД. У 25 пациентов в качестве биологического материала для исследования были взяты только образцы периферической крови. Еще для 10 пациентов были также получены препараты пораженного участка кожи и образцы периферической крови, а для 13 пациентов были взяты только образцы пораженного участка кожи. Образцы биопсии кожи брали из предплечья, из места наибольшего уплотнения кожи, методом инцизионной биопсии.

В качестве образцов сравнения использовали образцы здоровой кожи трех доноров без диагноза ССД, а также образцы периферической венозной крови 31 здорового донора в возрасте 20–54 лет. 20% когорты здоровых доноров составляли мужчины.

Образцы пораженной кожи пациентов диаметром 4 мм помещали в протективный раствор для тканей (MACS® Tissue Storage Solution, Miltenyi, США) на +4 °С и передавали в лабораторию для выделения РНК. Полученные образцы измельчали в жидком азоте с одновременным добавлением лизирующего буфера RLT. Выделение РНК проводили с помощью набора реагентов HiPure Total RNA Kit (Magen, Китай) согласно инструкции производителя. Концентрацию РНК измеряли с помощью флуориметра Qubit 3.0 и набора реагентов (Thermo Fisher Scientific, США).

Образцы крови (4 мл) забирали в пробирки с добавленной в качестве антикоагулянта калиевой солью этилендиаминтетраацетата (ЭДТА) в конечной концентрации 2 мг/мл. Цельную кровь после забора и до выделения мононуклеаров хранили при 4 °С. Выделение мононуклеаров периферической крови проводили методом седиментации в растворе фиколла плотностью 1,077 («ПанЭко», РФ). Полученную фракцию клеток помещали в лизирующий буфер RLT (Qiagen, Германия) и в таком виде хранили при температуре –80 °С до момента выделения тотальной РНК. Выделение тотальной РНК проводили с помощью набора HiPure Total RNA Kit (Magen, Китай) согласно инструкции производителя.

Концентрацию РНК измеряли с помощью флуориметра Qubit 3.0 (США) и набора реагентов (Thermo Fisher Scientific, США). Качество выделенного препарата РНК оценивали с помощью метода гель-электрофореза в агарозном геле. Выделенную РНК замораживали и хранили при температуре –80 °С до момента постановки обратной транскрипции и ПЦР в реальном времени.

Постановка ОТ-ПЦР и анализ данных

Количественную ОТ-ПЦР (ПЦР с обратной транскрипцией) в одной пробирке проводили с использованием набора реагентов One-Tube RT-PCR TagMan («Евроген», Россия) [37]. Набор представляет собой мастер-микс, содержащий реакционный буфер для ОТ и ПЦР, нуклеотидтрифосфаты и Тад ДНК-полимеразу с «горячим стартом». На первом этапе, когда происходит синтез первой цепи кДНК, Taq-полимеразу инактивировали моноклональными антителами; прогрев при 95 °C перед ПЦР обеспечивает быстрый «горячий старт». Модифицированную MMLVревертазу добавляли в реакционную смесь отдельно. Праймеры, служащие одновременно затравкой для синтеза первой цепи кДНК и для последующей ПЦРамплификации, добавляли в реакцию в концентрации 0,4 мкМ. Визуализацию накопления продуктов ПЦР в режиме реального времени проводили с использованием флуоресцентных проб типа TagMan. Пробы добавляли в реакцию в концентрации 0,1 мкМ. Все олигонуклеотиды, специфичные к исследуемым и референсным генам, подбирали таким образом, чтобы оптимум их работы обеспечивался применением одного универсального ОТ-ПЦР протокола.

Обратная транскрипция: 55 °C, 15 мин, один цикл, без считывания флуоресценции. Затем проводили инактивацию ревертазы/активацию полимеразы: 95 °C, 1 мин, один цикл, без считывания. Далее 40 циклов амплификации: денатурация — 95 °C, 15 с (без считывания); отжиг — 60 °C, 20 с (со считыванием флуоресценции); элонгация — 72 °C, 20 с (без считывания).

Для анализа интерфероновой сигнатуры оценивали уровень экспрессии *IFIT1*, *IFIT3*, *IFI27*, *IFI44*, *ISG15*, *XAF1*, ранее протестированной на образцах периферической крови пациентов с системной красной волчанкой (СКВ) и референсного гена ТВР [29, 31].

Для анализа интерфероновой сигнатуры оценивали уровень экспрессии *IFIT1*, *IFIT3*, *IFI27*, *IFI44*, *ISG15*, *XAF1* и референсного гена ТВР. По той же методике оценивали экспрессию гена-маркера *SFRP4*, признанного в качестве маркера, ассоциированного с прогрессированием фиброза при склеродермии [22].

Относительный уровень экспрессии интерферонзависимых генов оценивали с использованием нормирования на экспрессию гена «домашнего хозяйства» ТВР.

Относительную экспрессию определяли методом $\Delta\Delta$ Ct с нормированием по референсному гену, амплифицируемому в той же ПЦР. Относительный уровень экспрессии исследуемого гена определяли исходя из эффективности его амплификации и разности пороговых циклов (Ct) исследуемого гена по сравнению с референсным.

Статистическая обработка данных

Для статистической обработки результатов использовали непараметрические методы, пригодные для малых выборок ланных

Для сравнения уровня экспрессии генов между образцами доноров из экспериментальной (пациенты с ССД) и контрольной групп использовали тест Манна–Уитни. Для сравнения значений экспрессии генов в образцах кожи и крови статистическую значимость разницы выборок оценивали с использованием парного критерия Уилкоксона. Все значения *p*-value были дополнительно скорректированы с помощью поправки на множественное сравнение Бенджамини–Хохберга. Для оценки корреляции между показателями использовали коэффициент корреляции Спирмена.

Значение IFN-I-сигнатуры считали как среднее из стандартизированных оценок (z-score) относительного уровня экспрессии пяти генов (IFIT3, IFI27, IFI44, ISG15, XAF1). Стандартизированные оценки корреляции усредненной IFN-I-сигнатуры между кровью и кожей вычисляли относительно распределения значений внутри группы пациентов, для которых были получены парные образцы крови и кожи.

Стандартизированные оценки значений IFN-I-сигнатуры в образцах периферической крови вычисляли относительно распределения значений в группе здоровых доноров — отдельно для образцов крови и кожи.

Рассчитывали средние значения и стандартное отклонение (табл. 2 и 3). Однако в связи с ограниченной применимостью данных показателей для малых выборок (с недоказанной гипотезой о нормальном распределении значений) приведены также расчеты медианы и межквартильного расстояния.

ORIGINAL RESEARCH I IMMUNOLOGY

Таблица 1. Результаты клинико-иммунологического обследования пациентов с ССД (n=48)

Показатель	Значения	Стандартное отклонение
Средний возраст	61 (от 21 до 77)	61,4
Пол	Мужчины 5/48 (10%), женщины 43/48 (90%)	0,31
Длительность заболевания	13,5 лет (от 0,5 до 47)	13,6
Течение	острое — 3/48 (6%) подострое — 5/48 (10%) хроническое — 40/48 (84%)	0,24 0,31 0,37
Форма	Лимитированная — 30/48 (62,5%), диффузная — 18/48 (37,5%)	0,48
Органные поражения	·	
Интерстициальное поражение легких	27/48 (56%)	0,5
– КТ-паттерн организующей пневмонии	2/48 (4%)	0,2
– КТ-паттерн неспецифической интерстициальной пневмонии	25/48 (52%)	0,5
Первичная легочная гипертензия	12/48 (25%)	0,43
Поражение почек	2/48 (4%)	0,2
Поражение сердца	14/48 (29%)	0,45
– Перикардит	12/48 (25%)	0,42
– Миокардит	3/48 (6%)	0,24
Поражение пищевода	34/48 (71%)	0,45
Поражение кишечника	6/48 (12,5%)	0,33
Поражение мышц	9/48 (19%)	0,39
Поражение суставов	28/48 (58%)	0,49
Кожные проявления	46/48 (96%)	0,2
– дигитальные язвы	15/48 (31%)	0,46
Признаки синдрома Рейно	47/48 (98%)	0,14
Капилляроскопический паттерн	поздний — 27/48 (56%), активный — 16/48 (33%), ранний — 3/48 (6%), миопатический — 2/48 (4%)	0,50 0,47 0,24 0,20
Телеангиэктазии	27/48 (56%)	0,49
Счет по Rodnan, баллы	7 (0–37)	6,9
Лабораторные анализы		
Антитела к центромерам (АСА)	25/48 (52%)	0,5
Антитела к Scl70	14/48 (29%)	0,45
АнтиРm-Scl	1/48 (2%)	0,14
Антитела к RNP 70	1/48 (2%)	0,14
Анти SSA	1/48 (2%),	0,14
Без специфических антител	6/48 (12,5%)	0,33
Терапия (на момент взятия образцов)		
Микофенолата мофетил (ММФ) — $14/48$ (29%), глюкокортикоиды (ГК) в гидроксихлорохин (ГХ) — $13/48$ (27%), ритуксимаб (РТХ) — $11/48$ (23%), циклофосфан (ЦФ) — $1/48$ (2%), метотрексат (МТ) — $2/48$ (4%), без тер	нинтеданиб — 3/48 (6%),	
Низкоиммуносупрессивная терапия (ГХ и/или низкие дозы ГК)	18/48 (37,5%)	0,48
Высокоиммуносупрессивная терапия (ММФ и/или РТХ и/или МТ)	22/48 (46%)	0,50

Стандартное отклонение для бинарных клинических признаков рассчитывали для распределения Бернулли.

Всю работу с таблицами, корректировку данных, построение графиков и применение статистических тестов проводили с помощью встроенных функций языка R и дополнительных библиотек к нему: tidyverse, ggplot2 и corrplot.

РЕЗУЛЬТАТЫ ИССЛЕДОВАНИЯ

В исследование включены 48 пациентов с ССД, преимущественно женщины (90%), средний возраст 61 год,

длительность болезни 13,5 лет, в основном с хроническим течением (84%) и лимитированной формой болезни (62,5%). Ведущее органное поражение — интерстициальное заболевание легких (56%, главным образом NSIP); часто встречалось поражение пищевода (71%) и суставов (58%). Кожная активность в среднем низкая (mRSS 7), феномен Рейно диагностирован почти у всех (98%), дигитальные язвы — у 31%. Результаты клинико-иммунологического обследования пациентов с ССД представлены в табл. 1.

Для интегральной оценки IFN-I-сигнатуры использовали модификацию тест-системы из пяти генов: IFI27, XAF1, IFI44, IFIT3, ISG15, с использованием одного рефренсного

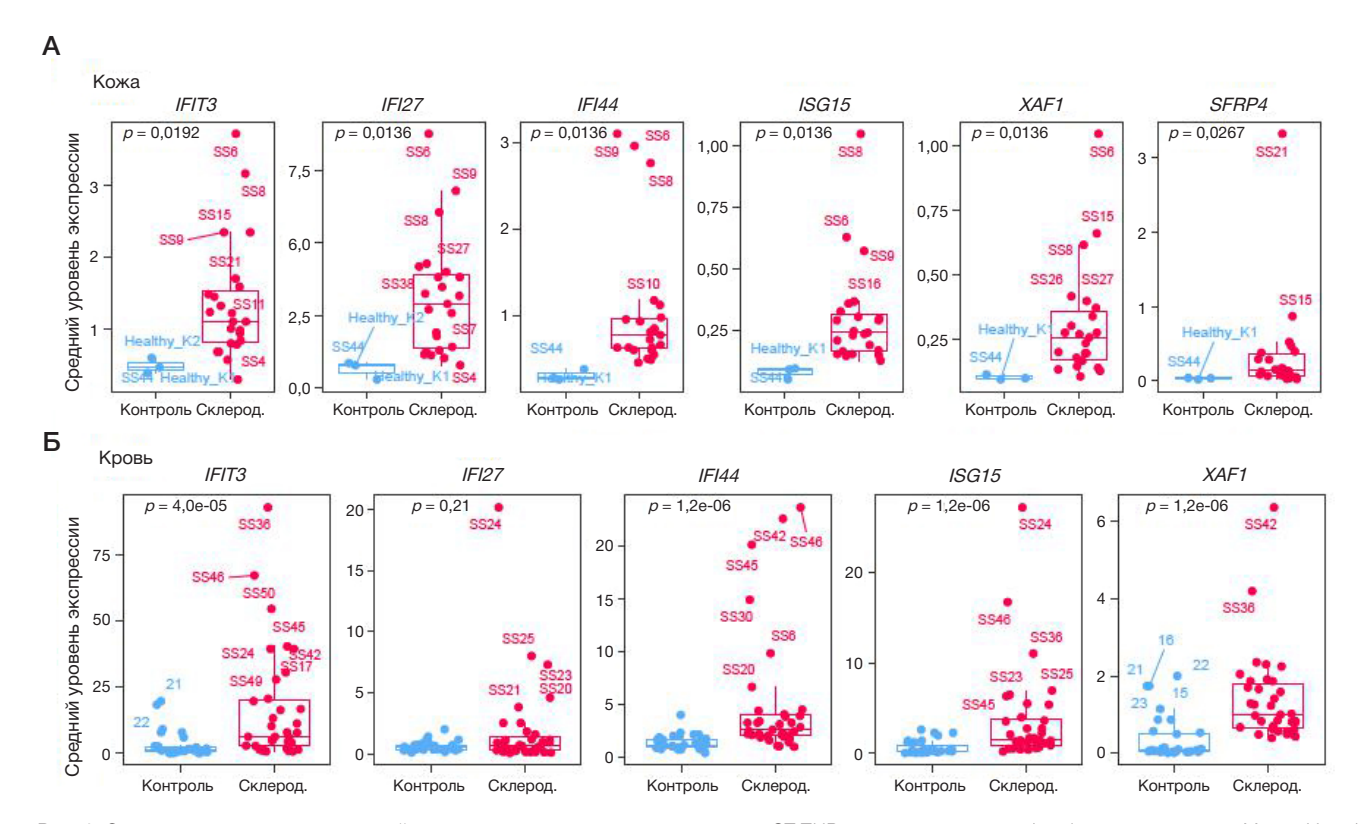


Рис. 1. Сравнение относительных уровней экспрессии исследуемых генов методом ОТ-ПЦР в реальном времени (p-value — по критерию Манна-Уитни) между образцами кожи в группах больных ССД (n = 23) и здоровых доноров (n = 3) (**A**), между образцами периферической крови в группах больных ССД (n = 35) и здоровых доноров (n = 31) (**Б**). Склерод. — склеродерма

гена вместо двух, ранее протестированной на образцах периферической крови пациентов с СКВ [32, 38]. В качестве гена-маркера заболевания использовали SFRP4 (от англ. secreted frizzled-related protein), уровень экспрессии которого ассоциирован с кожным фиброзом при ССД [22].

Уровень экспрессии для всех пяти анализируемых генов достоверно отличался между группами больных ССД и здоровых доноров для образцов РНК, выделенных из кожи, и для 4 из 5 анализируемых генов (за исключением IFI27), между группами больных ССД и здоровых доноров для образцов крови (рис. 1А, Б; табл. 2.). Уровень экспрессии SFRP4 был повышен в образцах кожи пациентов с ССД по сравнению с образцами кожи здоровых доноров (рис. 1А).

Сопоставление экспрессии между компартментами, проведенное на парных образцах кровь/кожа (рис. 2; табл. 3), показало, что уровни экспрессии генов XAF1, IFI44, IFIT3, ISG15 в крови пациентов значительно выше, чем в образцах кожи. Экспрессия гена IFI27, напротив, более выражена в коже (рис. 2A, B). Направленность изменений сохранялась в обоих типах материала, что поддерживает эффективность применения как кожных биопсий, так и образцов крови для диагностики и динамического мониторинга (рис. 2Б, Г). Интегральный индекс IFN-I-сигнатуры у пациентов с ССД значительно превышает референсный пороговый интервал, рассчитанный по значениям здоровых доноров, как в образцах периферической крови, так и в биоптатах пораженной кожи (рис. 2Д, E). Ограничение способа сравнения индекса IFN-I-сигнатуры в коже связано с

Таблица 2. Уровень экспрессии генов в образцах кожи в группах больных ССД (n = 23) и здоровых доноров (n = 3) (A), в образцах периферической крови в группах больных ССД (n = 35) и здоровых доноров (n = 31) (Б)

			А. Образ	зцы кожи		Б. Образцы крови					
ген	группа	ср.знач	ст.откл.	медиана	iqr*	ср.знач	ст.откл.	медиана	iqr*		
IFIT3	Контроль	0,47	0,11	0,46	0,1	3,15	4,87	1,15	1,76		
IFIT3	ССД	1,36	0,84	1,1	0,72	16,37	21,17	6,35	17,24		
IFI27	Контроль	0,64	0,31	0,78	0,28	0,59	0,39	0,54	0,35		
IFI27	ССД	3,11	2,02	2,89	2,56	1,91	3,69	0,72	1,07		
IFI44	Контроль	0,31	0,06	0,28	0,06	1,38	0,69	1,15	0,68		
IFI44	ССД	1,03	0,78	0,78	0,35	4,9	5,98	2,58	1,93		
ISG15	Контроль	0,08	0,02	0,09	0,02	0,65	0,76	0,31	0,71		
ISG15	ССД	0,3	0,21	0,24	0,15	3,63	5,33	1,48	2,94		
XAF1	Контроль	0,1	0,01	0,1	0,01	0,37	0,57	0,08	0,47		
XAF1	ССД	0,31	0,22	0,26	0,18	1,39	1,17	1	1,13		
SFRP4	Контроль	0,03	0,01	0,04	0,01	нд	нд	нд	нд		
SFRP4	ссд	0,36	0,69	0,14	0,28	нд	нд	нд	нд		

Примечание: * iqr — межквартильное расстояние.

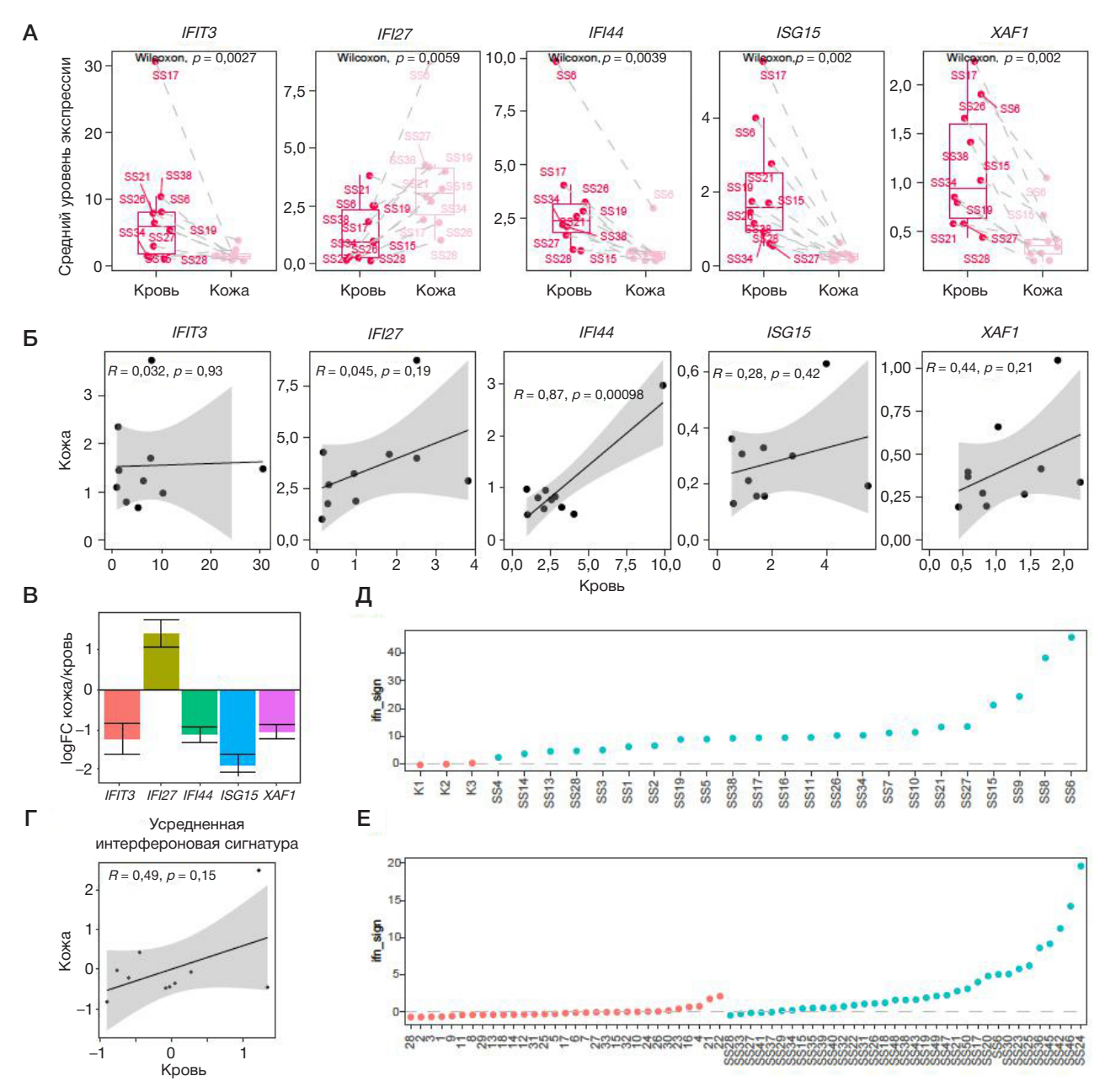


Рис. 2. Сравнение интерфероновой сигнатуры в крови и коже пациентов с ССД. А. Сравнение относительных уровней экспрессии исследуемых генов *IFIT3*, *IFI27*, *IFI44*, *ISG15*, *XAF1* в образцах РНК кожи и периферической крови пациентов с ССД (*n* = 10), представленных в виде боксплота. Применен парный критерий Уилкоксона. Б. Парная корреляция экспрессии генов панели IFN-I между кровью и кожей. В. В виде столбчатой диаграммы показаны средние значения логарифмов отношений экспрессии генов (log-fold-change) в коже к экспрессии генов в крови. Отрицательные значения указывают на большую экспрессию в крови, положительные — в коже. Г. Корреляция усредненной IFN-I-сигнатуры между кровью и кожей попарных образцов (*n* = 10), (R = 0,49; *p* = 0,15). Б, Г Использован коэффициент корреляции Спирмена (*серые области* — 95% ДИ). Д. Значения IFN-I-сигнатуры (*z*-score, нормировка по донорам) в образцах кожных биопсий: *красные точки* — здоровые доноры (*n* = 3), *синие точки* — пациенты с ССД (*n* = 23). Е. Значения IFN-I-сигнатуры (*z*-score, нормировка по здоровым донорам) в образцах периферической крови. *Красные точки* — здоровые доноры (*n* = 31), *синие точки* — пациенты с ССД (*n* = 35, включая 10 парных образцов кожа/кровь). *Пунктирной линией* отмечен пороговый интервал

малым числом образцов здоровых доноров. Интегральный индекс, посчитанный по крови, показал, что у 62% (22 пациента) превышен референсный интервал.

Корреляционный анализ клинических параметров и экспрессии генов (рис. 3; табл. 4) показал, что гены IFN-I-сигнатуры (*IFIT3*, *IFI27*, *IFI44*, *ISG15*, *XAF1*) образуют тесно согласованный модуль (Rs — от 0,52 до 0,87; p < 0,05 для кожи) с выраженными положительными межгенными корреляциями, тогда как *SFRP4* практически не связан с этим модулем и отражает отдельный, фиброзассоциированный компонент.

В образцах крови гены *IFIT3*, *IFI27*, *ISG15*, *XAF1* также образуют корреляционный кластер друг с другом, но с

несколько меньшими значениями корреляции (Rs — от 0,38 до 0,63). Ген *IFIT27* образует самую тесную связь с *ISG15* (Rs = 0,77), однако выпадает из общего кластера корреляций (Rs с *IFIT3*, *IFI27*, *ISG15*, *XAF1* < 0,15).

Клинические признаки «тяжести» заболевания (активность по EScSG, прогрессия, диффузная форма) заметно коррелируют между собой.

Гены IFN-I-сигнатуры показывают незначительную корреляцию с диффузной формой заболевания: в образцах кожи Rs составляет от 0,23 до 0,34, в образцах кожи небольшая корреляция наблюдается только для ISG15 и IFIT27 (0,21 и 0,27 соответственно). Возраст слабоотрицательно ассоциирован с уровнем экспрессии

Таблица 3. Уровень экспрессии исследуемых генов *IFIT3*, *IFI27*, *IFI44*, *ISG15*, *XAF1* в образцах РНК кожи и периферической крови этих же пациентов с ССД (n = 10)

Ген	Выборка	Среднее значение	Стандартное отклонение	Медиана	lqr*
IFIT3	кровь	7,48	8,73	5,81	6,17
IFIT3	кожа	1,55	0,91	1,34	0,64
IFI27	кровь	1,34	1,27	0,96	2,07
IFI27	кожа	3,48	2,16	3,07	2,03
IFI44	кровь	3,05	2,57	2,39	1,34
IFI44	кожа	0,95	0,73	0,79	0,32
ISG15	кровь	2,04	1,62	1,57	1,54
ISG15	кожа	0,28	0,15	0,26	0,16
XAF1	кровь	1,15	0,62	0,94	0,97
XAF1	кожа	0,42	0,26	0,35	0,14

Примечание: * — межквартильное расстояние.

IFN-I-индуцированных генов (Rs — от -0.32 до -0.36) в образцах кожи, для крови связи незначительны (от 0 до -0.13).

ОБСУЖДЕНИЕ РЕЗУЛЬТАТОВ

Определение уровня экспрессии IFN-I-стимулированных генов с помощью метода ПЦР в последнее время все чаще применяют в клинических исследованиях. Разработаны различные диагностические тест-системы для анализа экспрессии IFN-сигнатуры. Наиболее часто в рамках определения IFN-сигнатуры выявляют уровень экспрессии генов IFI44L, IFI44, MX1, MX2, OAS1, OAS2, OAS3, SIGLEC1, IFI35 [39]. Российскими учеными также предложены решения в этом направлении [40, 41]. В частности, одна из систем включает анализ трех генов (RIG-1, IFIT-1, IFIH-1). Однако подход к нормализации экспрессии в этих панелях представляется неоптимальным: в первой в качестве референсного гена используют HPRT, но не описывают нормировку по Δ Ct, а во второй в качестве референсного гена предлагается использовать GAPDH, что может

приводить к артефактам из-за наличия многочисленных псевдогенов в геноме человека. В данной работе мы использовали интегральную оценку IFN-I-сигнатуры с помощью тест-системы из пяти генов: IFI27, XAF1, IFI44, IFIT3, ISG15 с нормированием на один референсный ген. Ранее эти гены по отдельности и в виде тест-системы были протестированы нами на образцах периферической крови пациентов с СКВ [32, 38].

Согласно проведенному исследованию, у пациентов с ССД, по сравнению со здоровыми донорами, отмечено повышение экспрессии интерферон-индуцированных генов как в образцах кожи, так и в образцах периферической крови. Эти данные подтверждают вовлеченность интерферонов I типа в патогенез заболевания и согласуются с ранее опубликованными результатами по ССД [17, 21, 30]. По результатам нашего анализа уровень экспрессии IFN-I-индуцированных генов имеет тенденцию к корреляции в образцах крови и пораженных участков кожи. Подобная закономерность ранее была продемонстрирована на большей когорте пациентов с ССД с использованием транскриптомного профилирования (microarray). Было

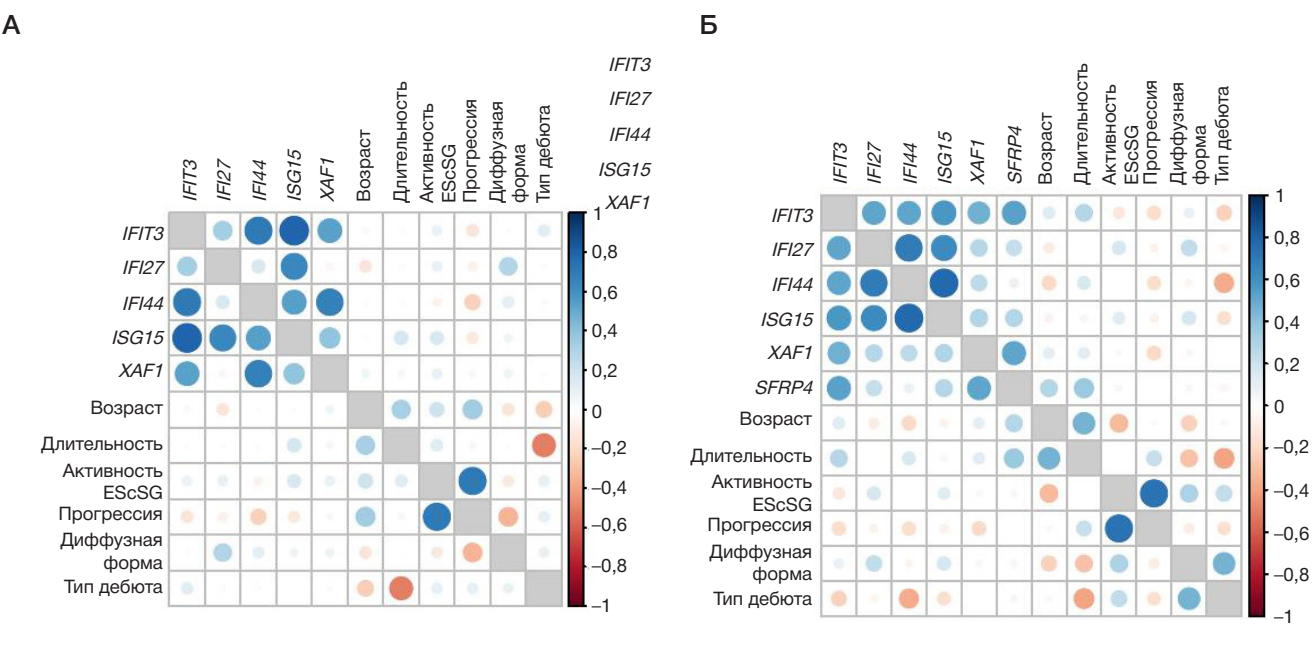


Рис. 3. Матрица корреляции уровня экспрессии генов IFN-I-сигнатуры (*IFI44*, *IFIT3*, *ISG15*, *IFI27*, *XAF1*) в образцах и клинических признаков в группе пациентов с ССД для образцов периферической крови (n = 35) (**A**) и для образцов пораженной кожи (n = 23) (**Б**). Экспрессия гена *SFRP4* добавлена, как маркер заболевания. Цвет круга показывает знак и силу корреляции: *синий* — положительная, *красный* — отрицательная; чем насыщеннее цвет, тем ближе |r| к 1. Размер круга пропорционален модулю коэффициента корреляции Спирмена

ORIGINAL RESEARCH I IMMUNOLOGY

Таблица 4. Значения корреляции между уровнем экспрессии генов IFN-I-сигнатуры (IFI44, IFIT3, ISG15, IFI27, XAF1) в образцах и клиническими признаками в группе пациентов с ССД в образцах крови (n=35), (**4A**) и в образцах кожи (n=23) (**4Б**)

4A	IFIT3	IFIT2	?7 IF	TT44	ISG15	XAF1	Возраст	Длительность	Активность (EScSG)	Прогрессия	Диффузная форма	Тип дебюта
IFIT3	1,00	0,16	6 (),49	0,63	0,63	0,03	0,01	0,24	0,06	0,08	0,11
IFIT27	0,16	1,00) –	0,04	0,77	-0,17	-0,03	0,10	0,06	0,03	0,27	-0,09
IFIT44	0,49	-0,0	4 1	,00	0,38	0,64	-0,13	-0,22	-0,08	-0,08	-0,13	0,24
ISG15	0,63	0,77	7 (),38	1,00	0,24	0,00	0,00	0,16	0,08	0,21	0,06
XAF1	0,63	-0,1	7 (),64	0,24	1,00	-0,08	0,04	0,06	-0,13	0,04	0,00
Возраст	0,03	-0,0	3 –	0,13	0,00	-0,08	1,00	0,31	0,18	0,32	-0,12	-0,16
Длительность	0,01	0,10) -	0,22	0,00	0,04	0,31	1,00	0,15	0,07	-0,14	-0,36
Активность (EScSG)	0,24	0,06	5 -	0,08	0,16	0,06	0,18	0,15	1,00	0,60	-0,02	0,20
Прогрессия	0,06	0,03	3 -	0,08	0,08	-0,13	0,32	0,07	0,60	1,00	-0,34	0,12
Диффузная форма	0,08	0,27	7 _	0,13	0,21	0,04	-0,12	-0,14	-0,02	-0,34	1,00	0,15
Тип дебюта	0,11	-0,0	9 (),24	0,06	0,00	-0,16	-0,36	0,20	0,12	0,15	1,00
	1 1											
4B	IFIT3	IFIT27	IFIT44	ISG1	5 XAF1	SFRP4	Возраст	Длительность	Активность (EScSG)	Прогрессия	Диффузная форма	Тип дебюта
4B IFIT3	1,00	<i>IFIT27</i> 0,79	<i>IFIT44</i> 0,82	ISG18	5 XAF1 0,79	<i>SFRP4</i> 0,22	Возраст -0,36	Длительность		Прогрессия -0,15	1	
						_	·		(EScSG)		форма	дебюта
IFIT3	1,00	0,79	0,82	0,80	0,79	0,22	-0,36	0,13	(EScSG) 0,01	-0,15	форма 0,23	дебюта -0,19
IFIT3 IFIT27	1,00	0,79	0,82	0,80	0,79	0,22	-0,36 -0,36	0,13	(EScSG) 0,01 0,15	-0,15 -0,09	форма 0,23 0,34	дебюта -0,19 -0,08
IFIT3 IFIT27 IFIT44	1,00 0,79 0,82	0,79 1,00 0,87	0,82 0,87 1,00	0,80 0,74 0,87	0,79 0,59 0,52	0,22 0,03 -0,05	-0,36 -0,36 -0,51	0,13 -0,09 -0,07	(EScSG) 0,01 0,15 0,13	-0,15 -0,09 -0,09	форма 0,23 0,34 0,28	дебюта -0,19 -0,08 -0,24
IFIT3 IFIT27 IFIT44 ISG15	1,00 0,79 0,82 0,8	0,79 1,00 0,87 0,74	0,82 0,87 1,00 0,87	0,80 0,74 0,87 1,00	0,79 0,59 0,52 0,54	0,22 0,03 -0,05 0,05	-0,36 -0,36 -0,51 -0,57	0,13 -0,09 -0,07 -0,04	(EScSG) 0,01 0,15 0,13 0,21	-0,15 -0,09 -0,09 0,02	форма 0,23 0,34 0,28 0,31	дебюта -0,19 -0,08 -0,24 -0,20
IFIT3 IFIT27 IFIT44 ISG15 XAF1	1,00 0,79 0,82 0,8 0,79	0,79 1,00 0,87 0,74 0,59	0,82 0,87 1,00 0,87 0,52	0,80 0,74 0,87 1,00 0,54	0,79 0,59 0,52 0,54 1,00 0,22	0,22 0,03 -0,05 0,05 0,22	-0,36 -0,36 -0,51 -0,57 -0,32	0,13 -0,09 -0,07 -0,04 0,16	(EScSG) 0,01 0,15 0,13 0,21 0,02	-0,15 -0,09 -0,09 0,02 -0,19	форма 0,23 0,34 0,28 0,31 0,16	дебюта -0,19 -0,08 -0,24 -0,20 -0,12
IFIT3 IFIT27 IFIT44 ISG15 XAF1 SFRP4	1,00 0,79 0,82 0,8 0,79 0,22	0,79 1,00 0,87 0,74 0,59 0,03	0,82 0,87 1,00 0,87 0,52 -0,05	0,80 0,74 0,87 1,00 0,54 0,05	0,79 0,59 0,52 0,54 1,00 0,22	0,22 0,03 -0,05 0,05 0,22 1,00	-0,36 -0,36 -0,51 -0,57 -0,32 0,37	0,13 -0,09 -0,07 -0,04 0,16 0,22	(EScSG) 0,01 0,15 0,13 0,21 0,02 -0,07	-0,15 -0,09 -0,09 0,02 -0,19 0,13	форма 0,23 0,34 0,28 0,31 0,16 0,17	дебюта -0,19 -0,08 -0,24 -0,20 -0,12 -0,15
IFIT3 IFIT27 IFIT44 ISG15 XAF1 SFRP4 Bospact	1,00 0,79 0,82 0,8 0,79 0,22 -0,36	0,79 1,00 0,87 0,74 0,59 0,03 -0,36	0,82 0,87 1,00 0,87 0,52 -0,05	0,80 0,74 0,87 1,00 0,54 0,05 -0,57	0,79 0,59 0,52 0,54 1,00 0,22	0,22 0,03 -0,05 0,05 0,22 1,00 0,37	-0,36 -0,36 -0,51 -0,57 -0,32 0,37 1,00	0,13 -0,09 -0,07 -0,04 0,16 0,22 0,34	(EScSG) 0,01 0,15 0,13 0,21 0,02 -0,07 -0,25	-0,15 -0,09 -0,09 0,02 -0,19 0,13 -0,02	форма 0,23 0,34 0,28 0,31 0,16 0,17 -0,19	дебюта -0,19 -0,08 -0,24 -0,20 -0,12 -0,15 0,05
<i>IFIT3 IFIT27 IFIT44 ISG15 XAF1 SFRP4</i> Возраст Длительность Активность	1,00 0,79 0,82 0,8 0,79 0,22 -0,36 0,13	0,79 1,00 0,87 0,74 0,59 0,03 -0,36 -0,09	0,82 0,87 1,00 0,87 0,52 -0,05 -0,51	0,80 0,74 0,87 1,00 0,54 0,05 -0,57	0,79 0,59 0,52 0,54 1,00 0,22 7 -0,32 4 0,16	0,22 0,03 -0,05 0,05 0,22 1,00 0,37 0,22	-0,36 -0,36 -0,51 -0,57 -0,32 0,37 1,00 0,34	0,13 -0,09 -0,07 -0,04 0,16 0,22 0,34 1,00	(EScSG) 0,01 0,15 0,13 0,21 0,02 -0,07 -0,25 -0,01	-0,15 -0,09 -0,09 0,02 -0,19 0,13 -0,02 0,16	форма 0,23 0,34 0,28 0,31 0,16 0,17 -0,19 -0,39	дебюта -0,19 -0,08 -0,24 -0,20 -0,12 -0,15 0,05 -0,34

показано, что экспрессия IFN-ассоциированных генов в коже согласуется с аналогичными изменениями в периферической крови [42]. Эти и другие наблюдения указывают на информативность оценки IFN-I-сигнатуры в образцах крови пациентов с ССД [18].

Клинические признаки тяжести заболевания (активность по EScSG, прогрессия, диффузная форма) заметно коррелируют между собой, но демонстрируют лишь слабые и неоднородные связи с IFN-I-сигнатурой. Таким образом, применимость разработанной тестсистемы для стратификации пациентов и прогноза успешности терапии ингибиторами рецептора IFN-I следует оценивать независимо от тяжести и формы заболевания.

В связи с тем что уровень оцениваемой IFN-I-сигнатуры у некоторых пациентов с ССД находится в зоне значений, близких к контролю (рис. 2), и не выявлена корреляция между экспрессией генов и тяжестью заболевания (рис. 3), можно предположить у пациентов с ССД наличие различных иммунологических паттернов, кроме паттерна активации интерферона I типа (по аналогии с описанными в [26] паттернами при СКВ). Наличие у пациентов с ССД как значимо более высоких, так и низких (на уровнях контрольной группы) уровней экспрессии IFN-индуцированных генов может свидетельствовать о необходимости стратификации пациентов для прогноза эффекта от терапии антителами к рецептору интерферона.

С учетом текущих клинических исследований ингибитора рецептора IFN-I при ССД (DAISY; NCT05631227) [37]

повышенное значение IFN-I-сигнатуры потенциально может служить критерием отбора пациентов и инструментом мониторинга эффективности ответа на терапию блокатором рецепторов интерферона (анифролумаб). Схожесть сигнальных путей для ССД и СКВ, связанных с интерфероном [14, 23, 42], а также имеющиеся данные об эффективности анифролумаба при СКВ [43], позволяют предположить, что использование данного препарата при ССД тоже может быть высокоэффективным для пациентов, имеющих высокие значения интерфероновой сигнатуры.

выводы

У пациентов с ССД, по сравнению со здоровыми донорами, отмечено повышение экспрессии интерферониндуцированных генов как в образцах кожи, так и в образцах периферической крови, что указывает на вовлеченность интерферонов І типа в патогенез ССД. Уровень экспрессии IFN-І-индуцированных генов имеет тенденцию к корреляции в образцах крови и пораженных участках кожи. Разработанная RT-qPCR-панель, включающая IFN-І-индуцируемых гены (IF127, IF144, IFIT3, ISG15, XAF1), обладает потенциалом для стратификации пациентов с ССД, а также для оценки эффективности таргетной терапии блокаторами рецепторов интерферона (в случае одобрения данной терапии для ССД). Для проверки данного вывода требуется проведение дополнительного

исследования корреляции между снижением уровня интерфероновой подписи и улучшения состояния пациентов с ССД при терапии антителами к рецептору интерферона. Для анализа интерфероновой сигнатуры методом RT-PCR с использованием предложенных генов

можно рекомендовать использование периферической крови пациентов с ССД, так как данный биоматериал более доступен, менее инвазивен и более воспроизводим при потенциально сопоставимой информативности с образцами кожи.

Литература

- Elhai M, Meune C, Avouac J, Kahan A, Allanore Y. Trends in mortality in patients with systemic sclerosis over 40 years: a systematic review and meta-analysis of cohort studies. Rheumatology (Oxford). 2012; 51 (6): 1017–26. DOI: 10.1093/rheumatology/ker269. PMID: 21900368.
- Rubio-Rivas M, Royo C, Simeón CP, Corbella X, Fonollosa V. Mortality and survival in systemic sclerosis: systematic review and meta-analysis. Semin Arthritis Rheum. 2014; 44 (2): 208–19. DOI: 10.1016/j.semarthrit.2014.05.010.
- Nikpour M, Baron M. Mortality in systemic sclerosis: lessons learned from population-based and observational cohort studies. Curr Opin Rheumatol. 2014; 26 (2): 131–7. DOI: 10.1097/BOR.0000000000000027.
- Elhai M, Meune C, Boubaya M, et al. EUSTAR group. Mapping and predicting mortality from systemic sclerosis. Ann Rheum Dis. 2017; 76 (11): 1897–905. DOI: 10.1136/annrheumdis-2017-211448.
- Rosa JE, Soriano ER, Narvaez-Ponce L, et al. Incidence and prevalence of systemic sclerosis in a healthcare plan in Buenos Aires. J Clin Rheumatol. 2011; 17 (2): 59–63. DOI: 10.1097/RHU.0b013e31820e7e8d.
- Furst DE, Fernandes AW, lorga SR, Greth W, Bancroft T. Epidemiology of systemic sclerosis in a large US managed care population. J Rheumatol. 2012; 39 (4): 784–6. DOI: 10.3899/irheum.111106.
- Horimoto AMC, Matos ENN, Costa MRD, et al. Incidence and prevalence of systemic sclerosis in Campo Grande, Brazil. Rev Bras Reumatol (Engl Ed). 2017; 57 (2): 107–14. DOI: 10.1016/j.rbre.2016.09.005.
- Hoffmann-Vold AM, Midtvedt Ø, Molberg Ø, Garen T, Gran JT. Prevalence of systemic sclerosis in south-east Norway. Rheumatology (Oxford). 2012; 51 (9): 1600–5. DOI: 10.1093/rheumatology/kes076.
- Bajraktari IH, Berisha I, Berisha M, et al. Incidence, prevalence and clinical manifestations of systemic sclerosis in Dukagjini plain. Mater Sociomed. 2013; 25 (1): 14–18. DOI: 10.5455/msm.2013.25.14-18.
- El Adssi H, Cirstea D, Virion JM, Guillemin F, de Korwin JD. Estimating the prevalence of systemic sclerosis in Lorraine, France, by the capture-recapture method. Semin Arthritis Rheum. 2013; 42 (5): 530–38. DOI: 10.1016/j.semarthrit.2012.10.001.
- Meier FM, Frommer KW, Dinser R, et al. EUSTAR Co-authors. Update on the profile of the EUSTAR cohort. Ann Rheum Dis. 2012; 71 (8): 1355–60. DOI: 10.1136/annrheumdis-2011-200742.
- Matucci-Cerinic M, Krieg T, Guillevin L, et al. Burden of recurrent and chronic digital ulcers in systemic sclerosis: long-term results from the DUO Registry. Ann Rheum Dis. 2016; 75 (10): 1770–6. DOI: 10.1136/annrheumdis-2015-208121.
- Tyndall AJ, Bannert B, Vonk M, et al. Causes and risk factors for death in systemic sclerosis: EUSTAR database study. Ann Rheum Dis. 2010; 69 (10): 1809–15. DOI: 10.1136/ard.2009.114264.
- Assassi S, Mayes MD, Arnett FC, et al. Systemic sclerosis and lupus: points in an interferon-mediated continuum. Arthritis Rheum. 2010; 62 (2): 589–98. DOI: 10.1002/art.27224.
- Gasparini G, Cozzani E, Parodi A. Interleukin-4 and interleukin-13 as possible therapeutic targets in systemic sclerosis. Cytokine. 2020; 125: 154799. DOI: 10.1016/j.cyto.2019.154799.
- Wei L, Abraham D, Ong V. The Yin and Yang of IL-17 in systemic sclerosis.
 Front Immunol. 2022; 13: 885609. DOI: 10.3389/fimmu.2022.885609.
- Skaug B, Assassi S. Type I interferon dysregulation in systemic sclerosis. Cytokine. 2020; 132: 154635. DOI: 10.1016/j.cyto.2018.12.018.
- Farutin V, Pradines JR, Cilfone NA, Ghavami A, Kurtagic E, Guess J, et al. Multiomic study of skin, peripheral blood, and serum: is serum proteome a reflection of disease process at the end-organ level in systemic sclerosis? Arthritis Res Ther. 2021; 23 (1): 259. DOI: 10.1186/s13075-021-02633-5.
- 19. Насонов Е. Л. Современная концепция аутоиммунитета в

- ревматологии. Научно-практическая ревматология. 2023; 61 (4): 397–420. DOI: 10.47360/1995-4484-2023-397-420.
- Paradowska-Gorycka A, Wajda A, Stypinska B, et al. Endosomal TLRs and interferons expression in SLE, SSc and MCTD. Clin Exp Immunol. 2021; 204 (1): 49–63. DOI: 10.1111/cei.13566.
- Yin H, Distler O, Shen L, et al. Endothelial response to type I interferon contributes to vasculopathy and fibrosis and predicts progression in systemic sclerosis. Arthritis Rheumatol. 2024; 76 (1): 78–91. DOI: 10.1002/art.42662. PMID: 37488975.
- Tinazzi I, Mulipa P, Colato C, et al. SFRP4 expression is linked to immune-driven fibrotic conditions and correlates with skin and lung fibrosis in SSc. J Clin Med. 2021; 10 (24): 5820. DOI: 10.3390/jcm10245820.
- 23. Насонов Е. Л., Авдеева А. С. Иммуновоспалительные ревматические заболевания, связанные с интерфероном типа I: новые данные. Научно-практическая ревматология. 2019; 57 (4): 452–61
- 24. Авдеева А. С., Четина Е. В., Черкасова М. В., Маркова Г. А., Артюхов А. С., Дашинимаев Э. Б., и др. Экспрессия интерферонстимулированных генов (интерфероновый «автограф») у пациентов с ревматоидным артритом: предварительные результаты. Научно-практическая ревматология. 2020; 58 (6): 673–7. Доступно по ссылке: https://doi.org/10.47360/1995-4484-2020-673-677.
- 25. Авдеева А. С., Четина Е. В., Маркова Г. А., Насонов Е. Л. Экспрессия интерферон-стимулированных генов у пациентов с ревматоидным артритом на фоне анти-В-клеточной терапии (предварительные результаты). Современная ревматология. 2021; 15 (5): 12–17.
- Avdeeva AS, Aleksankin AP, Chetina EV, Gorbunova YuN, Popkova TV, Markova GA, et al. Immunophenotypes of systemic lupus erythematosus — features of clinical and laboratory disorders. Doklady Biochemistry and Biophysics. 2025; 522 (1): 315–22.
- Панафидина Т. А., Попкова Т. В., Горбунова Ю. Н., Кондратьева Л. В., Четина Е. В., Авдеева А. С., и др. Клиническое значение интерферонового статуса у пациентов с системной красной волчанкой. Научно-практическая ревматология. 2025; 63 (1): 95–103.
- Алиев Д. Б., Гайдукова И. З. Интерферон-α и особенности системной красной волчанки у пациентов с ювенильным и взрослым началом заболевания. РМЖ. 2022; 6: 3–6.
- 29. Авдеева А. С., Четина Е. В., Горбунова Ю. Н., Панафидина Т. А., Попкова Т. В. Интерфероновый «автограф» у пациентов с системной красной волчанкой взаимосвязь с лабораторными и клиническими показателями. Клиническая лабораторная диагностика. 2025; 70 (8): 530–5.
- Brkic Z, van Bon L, Cossu M, van Helden-Meeuwsen CG, Vonk MC, Knaapen H, et al. The interferon type I signature is present in systemic sclerosis before overt fibrosis and might contribute to its pathogenesis through high BAFF gene expression and high collagen synthesis. Ann Rheum Dis. 2016; 75 (8): 1567–73. DOI: 10.1136/annrheumdis-2015-207392.
- Kakkar V, Assassi S, Allanore Y, et al. Type 1 interferon activation in systemic sclerosis: a biomarker, a target or the culprit. Curr Opin Rheumatol. 2022; 34 (6): 357–64. DOI: 10.1097/BOR.0000000000000907.
- 32. Mutovina Z, Golovina O, Zhurina T, Zagrebneva A, Shagina I, Myshkin M, et al. Increased type 1 interferon signature in systemic scleroderma patients suggests unexplored therapeutic options. International Journal of Rheumatic Diseases: Volume 27, Issue S3 Special Issue: APLAR 26th Asia–Pacific League of Associations

- for Rheumatology Congress, 21-25 August 2024.
- Del Galdo F, Lescoat A, Conaghan PG, et al. EULAR recommendations for the treatment of SSc: 2023 update. Ann Rheum Dis. 2025; 84 (1): 29–40. DOI: 10.1136/ard-2024-226430.
- Khanna D, Denton CP, Assassi S, et al. DAISY study design and rationale: anifrolumab in SSc (phase 3). Clin Exp Rheumatol. 2024; 42 (8): 1635–44. DOI: 10.55563/clinexprheumatol/s8qcyu.
- van den Hoogen F, et al. 2013 classification criteria for systemic sclerosis. Arthritis Rheum. 2013; 65 (11): 2737–47. DOI: 10.1002/art.38098.
- 36. Valentini G, et al. EScSG preliminary activity criteria: construct validity. Ann Rheum Dis. 2003; 62: 901–03. DOI: 10.1136/ard.62.9.901.
- 37. Bong D, et al. Brief guide to RT-qPCR. Molecules and Cells. 2024; 47 (12): 100141. DOI: 10.1016/j.mocell.2024.100141.
- Чудаков Д. М, Турчанинова М. А., Британова О. В., Шагина И. А, Мутовина З. Ю., авторы. Диагностическая тест-система для оценки функционального состояния системы интерферона при аутоиммунных воспалительных заболеваниях. Патент 2845958 от 28.08.2025 г. Доступно по ссылке: https://fips.ru/EGD/22f31495-c376-4c27-9260-553d619511a9.
- 39. Schneider WM, Chevillotte MD, Rice CM. Interferon-stimulated

- genes: a complex web of host defenses. Annu Rev Immunol. 2014; 32: 513–45. DOI: 10.1146/annurev-immunol-032713-120231.
- Lozhkov AA, Plotnikova MA, Egorova MA, Baranovskaya IL, Elpaeva EA, Klotchenko SA, et al. Simultaneous Detection of RIG-1, MDA5, and IFIT-1 Expression Is a Convenient Tool for Evaluation of the Interferon-Mediated Response. Viruses. 2022; 14 (10): 2090. DOI: 10.3390/v14102090.
- 41. Егорова М. А., Плотникова М. А., Ложков А. А., Власов П. К., Васин А. В., авторы. Многопараметрическая тестовая система для количественного определения мРНК генов RIG-1, IFIT-1, IFIH-1 методом ОТ-ПЦР в реальном времени. Патент RU2782428C1. 09.03.2023. Доступно по ссылке: https://patents.google.com/patent/RU2782428C1/ru.
- 42. Higgs BW, Liu Z, White B, Zhu W, White WI, Morehouse C, et al. Patients with systemic lupus erythematosus, myositis, rheumatoid arthritis and scleroderma share activation of a common type I interferon pathway. Ann Rheum Dis. 2011; 70 (11): 2029–36. DOI: 10.1136/ard.2011.150326.
- Morand EF, et al. Efficacy of anifrolumab across organ domains in SLE (TULIP-1/2). Lancet Rheumatol. 2022; 4 (4): e282–e292. DOI: 10.1016/S2665-9913(21)00317-9.

References

- Elhai M, Meune C, Avouac J, Kahan A, Allanore Y. Trends in mortality in patients with systemic sclerosis over 40 years: a systematic review and meta-analysis of cohort studies. Rheumatology (Oxford). 2012; 51 (6): 1017–26. DOI: 10.1093/rheumatology/ker269. PMID: 21900368.
- Rubio-Rivas M, Royo C, Simeón CP, Corbella X, Fonollosa V. Mortality and survival in systemic sclerosis: systematic review and meta-analysis. Semin Arthritis Rheum. 2014; 44 (2): 208–19. DOI: 10.1016/j.semarthrit.2014.05.010.
- Nikpour M, Baron M. Mortality in systemic sclerosis: lessons learned from population-based and observational cohort studies. Curr Opin Rheumatol. 2014; 26 (2): 131–7. DOI: 10.1097/BOR.0000000000000027.
- Elhai M, Meune C, Boubaya M, et al. EUSTAR group. Mapping and predicting mortality from systemic sclerosis. Ann Rheum Dis. 2017; 76 (11): 1897–905. DOI: 10.1136/annrheumdis-2017-211448.
- Rosa JE, Soriano ER, Narvaez-Ponce L, et al. Incidence and prevalence of systemic sclerosis in a healthcare plan in Buenos Aires. J Clin Rheumatol. 2011; 17 (2): 59–63. DOI: 10.1097/RHU.0b013e31820e7e8d.
- Furst DE, Fernandes AW, lorga SR, Greth W, Bancroft T. Epidemiology of systemic sclerosis in a large US managed care population. J Rheumatol. 2012; 39 (4): 784–6. DOI: 10.3899/jrheum.111106.
- 7. Horimoto AMC, Matos ENN, Costa MRD, et al. Incidence and prevalence of systemic sclerosis in Campo Grande, Brazil. Rev Bras Reumatol (Engl Ed). 2017; 57 (2): 107–14. DOI: 10.1016/j.rbre.2016.09.005.
- Hoffmann-Vold AM, Midtvedt Ø, Molberg Ø, Garen T, Gran JT. Prevalence of systemic sclerosis in south-east Norway. Rheumatology (Oxford). 2012; 51 (9): 1600–5. DOI: 10.1093/rheumatology/kes076.
- Bajraktari IH, Berisha I, Berisha M, et al. Incidence, prevalence and clinical manifestations of systemic sclerosis in Dukagjini plain. Mater Sociomed. 2013; 25 (1): 14–18. DOI: 10.5455/msm.2013.25.14-18.
- El Adssi H, Cirstea D, Virion JM, Guillemin F, de Korwin JD. Estimating the prevalence of systemic sclerosis in Lorraine, France, by the capture-recapture method. Semin Arthritis Rheum. 2013; 42 (5): 530–38. DOI: 10.1016/j.semarthrit.2012.10.001.
- Meier FM, Frommer KW, Dinser R, et al. EUSTAR Co-authors. Update on the profile of the EUSTAR cohort. Ann Rheum Dis. 2012; 71 (8): 1355–60. DOI: 10.1136/annrheumdis-2011-200742.
- Matucci-Cerinic M, Krieg T, Guillevin L, et al. Burden of recurrent and chronic digital ulcers in systemic sclerosis: long-term results from the DUO Registry. Ann Rheum Dis. 2016; 75 (10): 1770–6. DOI: 10.1136/annrheumdis-2015-208121.
- Tyndall AJ, Bannert B, Vonk M, et al. Causes and risk factors for death in systemic sclerosis: EUSTAR database study. Ann Rheum Dis. 2010; 69 (10): 1809–15. DOI: 10.1136/ard.2009.114264.
- Assassi S, Mayes MD, Arnett FC, et al. Systemic sclerosis and lupus: points in an interferon-mediated continuum. Arthritis

- Rheum. 2010; 62 (2): 589-98. DOI: 10.1002/art.27224.
- Gasparini G, Cozzani E, Parodi A. Interleukin-4 and interleukin-13 as possible therapeutic targets in systemic sclerosis. Cytokine. 2020; 125: 154799. DOI: 10.1016/j.cyto.2019.154799.
- Wei L, Abraham D, Ong V. The Yin and Yang of IL-17 in systemic sclerosis. Front Immunol. 2022; 13: 885609. DOI: 10.3389/fimmu.2022.885609.
- Skaug B, Assassi S. Type I interferon dysregulation in systemic sclerosis. Cytokine. 2020; 132: 154635. DOI: 10.1016/j.cyto.2018.12.018.
- Farutin V, Pradines JR, Cilfone NA, Ghavami A, Kurtagic E, Guess J, et al. Multiomic study of skin, peripheral blood, and serum: is serum proteome a reflection of disease process at the end-organ level in systemic sclerosis? Arthritis Res Ther. 2021; 23 (1): 259. DOI: 10.1186/s13075-021-02633-5.
- Nasonov EL. Sovremennaya koncepciya autoimmuniteta v revmatologii.
 Nauchno-prakticheskaya revmatologiya. 2023; 61 (4): 397–420.
 DOI: 10.47360/1995-4484-2023-397-420. Russian.
- Paradowska-Gorycka A, Wajda A, Stypinska B, et al. Endosomal TLRs and interferons expression in SLE, SSc and MCTD. Clin Exp Immunol. 2021; 204 (1): 49–63. DOI: 10.1111/cei.13566.
- Yin H, Distler O, Shen L, et al. Endothelial response to type I interferon contributes to vasculopathy and fibrosis and predicts progression in systemic sclerosis. Arthritis Rheumatol. 2024; 76 (1): 78–91. DOI: 10.1002/art.42662. PMID: 37488975.
- Tinazzi I, Mulipa P, Colato C, et al. SFRP4 expression is linked to immune-driven fibrotic conditions and correlates with skin and lung fibrosis in SSc. J Clin Med. 2021; 10 (24): 5820. DOI: 10.3390/jcm10245820.
- Nasonov EL, Avdeeva AS. Immunovospalitel'nye revmaticheskie zabolevaniya, svyazannye s interferonom tipa I: novye dannye. Nauchno-prakticheskaya revmatologiya. 2019; 57 (4): 452–61. Russian.
- 24. Avdeeva AS, CHetina EV, CHerkasova MV, Markova GA, Artyuhov AS, Dashinimaev EB, et al. Ekspressiya interferon-stimulirovannyh genov (interferonovyj «avtograf») u pacientov s revmatoidnym artritom: predvaritel'nye rezul'taty. Nauchno-prakticheskaya revmatologiya. 2020; 58 (6): 673–7. Dostupno po ssylke: https://doi.org/10.47360/1995-4484-2020-673-677. Russian.
- 25. Avdeeva AS, CHetina EV, Markova GA, Nasonov EL. Ekspressiya interferon-stimulirovannyh genov u pacientov s revmatoidnym artritom na fone anti-V-kletochnoj terapii (predvaritel'nye rezul'taty) Sovremennaya revmatologiya. 2021; 15 (5): 12–17. Russian.
- Avdeeva AS, Aleksankin AP, Chetina EV, Gorbunova YuN, Popkova TV, Markova GA, et al. Immunophenotypes of systemic lupus erythematosus — features of clinical and laboratory disorders. Doklady Biochemistry and Biophysics. 2025; 522 (1): 315–22
- 27. Panafidina TA, Popkova TV, Gorbunova YuN, Kondrateva LV,

- CHetina EV, Avdeeva AS, et al. Klinicheskoe znachenie interferonovogo statusa u pacientov s sistemnoj krasnoj volchankoj. Nauchno-prakticheskaya revmatologiya. 2025; 63 (1): 95–103. Russian.
- Aliev DB, Gajdukova IZ. Interferon-α i osobennosti sistemnoj krasnoj volchanki u pacientov s yuvenil'nym i vzroslym nachalom zabolevaniya. RMZH. 2022; 6: 3–6. Russian.
- Avdeeva AS, CHetina EV, Gorbunova YuN, Panafidina TA, Popkova TV. Interferonovyj «avtograf» u pacientov s sistemnoj krasnoj volchankoj – vzaimosvyaz¹ s laboratornymi i klinicheskimi pokazatelyami. Klinicheskaya laboratornaya diagnostika. 2025; 70 (8): 530–5. Russian.
- 30. Brkic Z, van Bon L, Cossu M, van Helden-Meeuwsen CG, Vonk MC, Knaapen H, et al. The interferon type I signature is present in systemic sclerosis before overt fibrosis and might contribute to its pathogenesis through high BAFF gene expression and high collagen synthesis. Ann Rheum Dis. 2016; 75 (8): 1567–73. DOI: 10.1136/annrheumdis-2015-207392.
- Kakkar V, Assassi S, Allanore Y, et al. Type 1 interferon activation in systemic sclerosis: a biomarker, a target or the culprit. Curr Opin Rheumatol. 2022; 34 (6): 357–64. DOI: 10.1097/BOR.0000000000000907.
- 32. Mutovina Z, Golovina O, Zhurina T, Zagrebneva A, Shagina I, Myshkin M, et al. Increased type 1 interferon signature in systemic scleroderma patients suggests unexplored therapeutic options. International Journal of Rheumatic Diseases: Volume 27, Issue S3 Special Issue: APLAR 26th Asia–Pacific League of Associations for Rheumatology Congress, 21–25 August 2024.
- Del Galdo F, Lescoat A, Conaghan PG, et al. EULAR recommendations for the treatment of SSc: 2023 update. Ann Rheum Dis. 2025; 84 (1): 29–40. DOI: 10.1136/ard-2024-226430.
- Khanna D, Denton CP, Assassi S, et al. DAISY study design and rationale: anifrolumab in SSc (phase 3). Clin Exp Rheumatol. 2024; 42 (8): 1635–44. DOI: 10.55563/clinexprheumatol/s8qcyu.
- 35. van den Hoogen F, et al. 2013 classification criteria for systemic

- sclerosis. Arthritis Rheum. 2013; 65 (11): 2737–47. DOI: 10.1002/art.38098.
- Valentini G, et al. EScSG preliminary activity criteria: construct validity.
 Ann Rheum Dis. 2003; 62: 901–03. DOI: 10.1136/ard.62.9.901.
- Bong D, et al. Brief guide to RT-qPCR. Molecules and Cells. 2024;
 10141. DOI: 10.1016/j.mocell.2024.100141.
- 38. Chudakov DM, Turchaninova MA, Britanova OV, Shagina IA, Mutovina ZYu, avtory. Diagnosticheskaya test-sistema dlya ocenki funkcional'nogo sostoyaniya sistemy interferona pri autoimmunnyh vospalitel'nyh zabolevaniyah. Patent 2845958 ot 28.08.2025 g. Dostupno po ssylke: https://fips.ru/EGD/22f31495-c376-4c27-9260-553d619511a9. Russian.
- Schneider WM, Chevillotte MD, Rice CM. Interferon-stimulated genes: a complex web of host defenses. Annu Rev Immunol. 2014; 32: 513–45. DOI: 10.1146/annurev-immunol-032713-120231.
- Lozhkov AA, Plotnikova MA, Egorova MA, Baranovskaya IL, Elpaeva EA, Klotchenko SA, et al. Simultaneous Detection of RIG-1, MDA5, and IFIT-1 Expression Is a Convenient Tool for Evaluation of the Interferon-Mediated Response. Viruses. 2022; 14 (10): 2090. DOI: 10.3390/v14102090.
- 41. Egorova MA, Plotnikova MA, Lozhkov AA, Vlasov PK, Vasin AV, avtory. Mnogoparametricheskaya testovaya sistema dlya kolichestvennogo opredele niya mRNK genov RIG-1, IFIT-1, IFIH-1 metodom OT-PCR v real'nom vremeni. Patent RU2782428C1. 09.03.2023. Dostupno po ssylke: https://patents.google.com/patent/RU2782428C1/ru. Russian.
- Higgs BW, Liu Z, White B, Zhu W, White WI, Morehouse C, et al. Patients with systemic lupus erythematosus, myositis, rheumatoid arthritis and scleroderma share activation of a common type I interferon pathway. Ann Rheum Dis. 2011; 70 (11): 2029–36. DOI: 10.1136/ard.2011.150326.
- Morand EF, et al. Efficacy of anifrolumab across organ domains in SLE (TULIP-1/2). Lancet Rheumatol. 2022; 4 (4): e282–e292. DOI: 10.1016/S2665-9913(21)00317-9.